

論文

UDC 669.046.545 : 541.123 : 536.423

溶鉄中へのりんの標準溶解自由エネルギーの測定*

山本 正道**・山田 啓作***・L. L. Meshkov****・加藤栄一*****

The Standard Free Energies of Dissolution of Phosphorus Gases in Liquid Iron

Masamichi YAMAMOTO, Keisaku YAMADA, Leonid Leonidovich MESHKOV, and Eiichi KATO

Synopsis:

The ratio of the vapor pressures of $P(g)$ and $P_2(g)$ above Fe-P alloys were determined by a combination of a mass spectrometer and a Knudsen cell. The effused vapors from Knudsen cell were collected onto target plates and the amounts of phosphorus in the deposits on the target plates were determined by a secondary ion mass spectrometer. The vapor pressures of $P(g)$ and $P_2(g)$ were calculated from these results, and the following values for the standard free energy changes were obtained.

$$\begin{aligned} P(g) &= P(\%) \quad \Delta G^\circ = -95.3 + 1.55 \times 10^{-2} T (\pm 2.2) \text{ kcal/mol} \\ \frac{1}{2} P_2(g) &= P(\%) \quad \Delta G^\circ = -37.7 + 0.13 \times 10^{-2} T (\pm 1.1) \text{ kcal/mol} \\ P(g) = \frac{1}{2} P_2(g) & \quad \Delta G^\circ = -57.6 + 1.42 \times 10^{-2} T (\pm 1.1) \text{ kcal/mol} \\ (1-3 \text{ wt\% P}, & 1590-1650^\circ C) \end{aligned}$$

1. 緒 言

これまで著者らのうちの山田と加藤は、クヌーセンセルと質量分析法を組み合わせた装置を用いて、1600°Cにおける溶鉄中のりんの活量について検討を加え^{1,2)}、低濃度領域(0.7~3.2 wt%)のりんの活量を正確に求めることができた。溶鉄中のりんに関する熱力学データとしては、製鋼温度においてはりんは気体であるため、気体のPあるいは P_2 の溶鉄へ溶解する時の自由エネルギーの値が重要であり、この値を得るために溶鉄中に溶解したりんの蒸気圧を測定することが必要である。溶鉄中の P_2 の溶解の自由エネルギーは、従来 BOOKEY^{3,4)}により溶鉄-りん酸カルシウム-H₂/H₂O間の化学平衡を用いて、また SCHENCK⁵⁾により P_2 蒸気と溶鉄を平衡させる方法で求められているが、いずれも測定方法に問題があり、その測定結果も満足なものとはいえない、りんの溶解の自由エネルギーについての信頼性のある測定値について

は皆無に等しいというのが現状である。

本研究ではクヌーセンセル-質量分析法とクヌーセンセル-蒸着法を組み合わせた測定方法を考案し、この方法によりPおよび P_2 の溶鉄中への標準溶解自由エネルギーおよびP, P_2 間の気相平衡反応の標準自由エネルギーを求めた。

2. 装置および試料

2.1 実験装置

実験に用いた装置をFig. 1およびFig. 2に示す。Fig. 1は測定に用いた装置で、クヌーセンセルはさきの質量分析計による実験¹⁾で用いたものと同一のものであり、さきの実験と同一組成のりん低濃度Fe-P合金(1~3 wt%)を溶解し、オリフィスよりの噴出ガスをイオン化室部に取りつけた純金製ターゲットプレート上に蒸着させる。なおターゲットプレートは液体窒素により冷却されている。

* 昭和54年10月本会講演大会にて発表 昭和55年3月3日受付 (Received Mar. 3, 1980)

** 早稲田大学鋳物研究所 (Casting Research Laboratory, Waseda University, 2-8-26 Nishiwaseda Shinjuku-ku 160)

*** 早稲田大学鋳物研究所 工博 (現: 東京芝浦電気(株)) (Casting Research Laboratory Waseda University, Now Tokyo Shibaura Electric Co., Ltd.)

**** モスクワ国立大学

***** 早稲田大学理工学部 工博 (School of Science and Engineering, Waseda University)

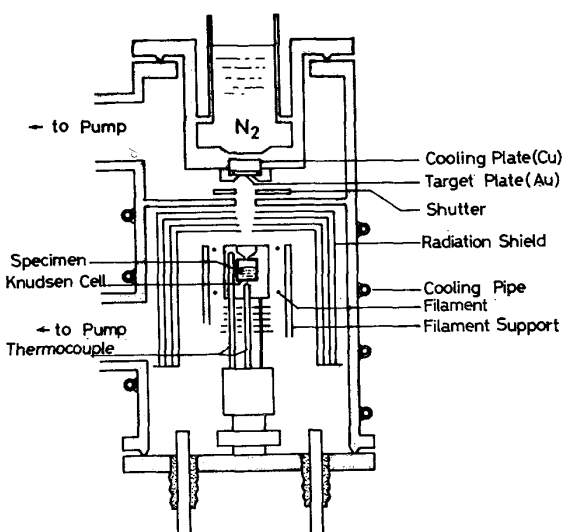


Fig. 1. Experimental apparatus for effusion study by collection technique.

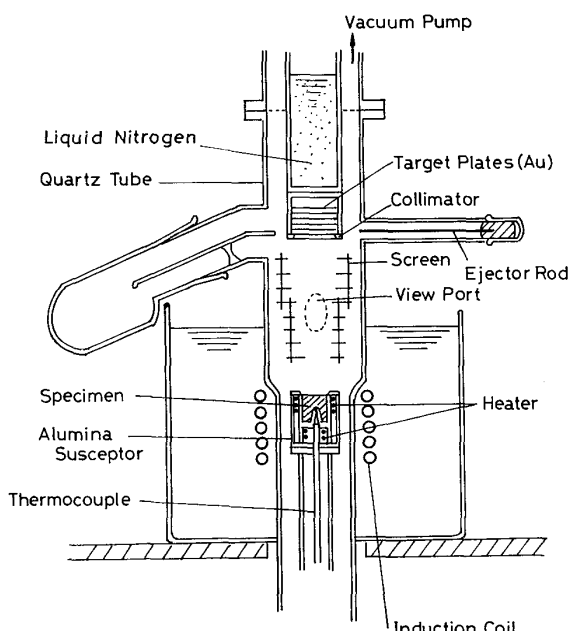


Fig. 2. Experimental apparatus for producing thick deposited film to make calibration curve for P in Fe-P alloys by SIMS.

Fig. 2 は SIMS (Secondary Ion Mass Spectrometer) の検量線作成のためのものであり、りん高濃度 Fe-P 合金 (10~20 wt%) を自由蒸発法により蒸発させ、蒸着物を液体窒素により冷却された純金製ターゲットプレート上に捕集する。ターゲットプレートは複数枚(最大 8 枚) 収容可能なマガジンに収容されており、蒸着後順次突き落とせるようになっている。

2.2 試料

用いた試料のうち クヌーセンセル-蒸着法に用いた低

濃度りん合金はさきの質量分析計での実験¹⁾で用いたものと同一のもので、Johnson-Matthey 社製高純度鉄 (99.99%) をあらかじめ高真空中でアルミニウムで脱酸し、この純鉄と高純度化学社製 Fe₃P (99.9%) とを水素気流中にて共晶組成である 10.2 wt% になるように溶製した母合金を、クヌーセンセル中にて目的組成になるように配合したものである。

また自由蒸発法に用いた高純度りん合金は、電解鉄を真空誘導炉にて炭素およびアルミニウムで脱酸して溶製した純鉄と、アルゴン気流中で電解鉄および赤りんより作成した母合金を、自由蒸発法に用いたるつば中にて配合したものである。

3. 測定方法および標準自由エネルギーの算出法

Fe-P 系のように合金成分の蒸気圧が極めて低く、かつその蒸気種が 2 種類以上存在する系の直接的な蒸気圧測定法としては、質量分析法は必要不可欠な方法である。質量分析計のみを用いる方法としては、たとえば内部標準法を用いればこの測定は一応可能であるが、この方法は多くの仮定を用いるため得られた値の信頼性は必ずしも満足なものとはいえない採用を見合せた。

本研究では クヌーセンセル-質量分析法と クヌーセンセル-蒸着法を組み合わせた測定方法を考案した。すなわち クヌーセンセル中にて Fe-P 合金を溶解、蒸発させ、ターゲットプレートに蒸着させ、蒸着物を SIMS により定量分析し、さきの クヌーセンセル-質量分析法による実験より求められているイオン強度の測定結果とあわせて、りんの蒸気のイオン強度と蒸気圧の関係を求め、それより以下に示す反応の標準自由エネルギーを求めた。

$$P(g) = \underline{P}(\text{wt}\%) \quad \dots \dots \dots \quad (1)$$

$$\frac{1}{2}P_2(g) = \underline{P}(\text{wt}\%) \quad \dots \dots \dots \quad (2)$$

$$P(g) = \frac{1}{2}P_2(g) \quad \dots \dots \dots \quad (3)$$

3.1 標準自由エネルギーの算出

本法による標準自由エネルギーの算出法は次のとおりである。

まず クヌーセンセルからの噴出ガスの蒸気圧と質量分析計による測定イオン強度の間には、次の(4)式で示す関係がある。

$$P_i = \text{const.} \cdot \frac{1}{\sigma_i} \cdot I_i^+ \cdot T \quad \dots \dots \dots \quad (4)$$

ここで P_i は蒸気圧、 σ_i はイオン化断面積、 I_i^+ は測定イオン強度、 T は絶対温度、添字 i は分子種 i を示す。

他方、クヌーセンセルからの噴出ガスの分子数とその蒸気圧の間には、Hertz-Langmuir の式として知られて

Table 1. Relationship between chemical composition of evaporation source and secondary ion intensity of P, Fe in deposited film obtained by Knudsen effusion.

Chemical composition of evaporation source	Secondary ion intensity of P in deposited film	Secondary ion intensity of Fe in deposited film	Secondary ion intensity ratio of P to Fe in deposited film		
wt% P	\bar{C}_P , Counts	σ_P , Counts	\bar{C}_{Fe} , Counts	σ_{Fe} , Counts	\bar{C}_P/\bar{C}_{Fe}
0.98	322	122	5.973×10^6	2.09×10^4	5.39×10^{-5}
1.09	750	113	5.616×10^6	2.98×10^4	1.34×10^{-4}
1.50	1 041	120	5.521×10^6	3.08×10^4	1.89×10^{-4}
2.03	1 428	145	5.520×10^6	3.26×10^4	2.59×10^{-4}
2.92	2 829	202	5.601×10^6	3.32×10^4	5.05×10^{-4}

Table 2. Relationship between chemical composition of deposited film by Langmuir evaporation and secondary ion intensity of P, Fe in the film. (To make calibration curve for P in Fe-P alloy by SIMS).

Chemical composition of deposited film	Secondary ion intensity of P in deposited film	Secondary ion intensity of Fe in deposited film	Secondary ion intensity ratio of P to Fe in deposited film		
wt% P	\bar{C}_P , Counts	σ_P , Counts	\bar{C}_{Fe} , Counts	σ_{Fe} , Counts	\bar{C}_P/\bar{C}_{Fe}
1.44	2.038×10^4	4.05×10^2	5.515×10^6	3.66×10^4	3.70×10^{-3}
4.40	7.809×10^4	8.57×10^2	5.670×10^6	3.04×10^4	1.38×10^{-2}
9.92	1.821×10^5	2.40×10^3	5.614×10^6	3.85×10^4	3.24×10^{-2}

により測定値が変化することが知られており、SIMS 検量線試料はできるだけクヌーセンセルを用いた時の測定試料と同一の条件で作成されているのが好ましいとされているためである。また後述するように自由蒸発法のように多量の試料を蒸発させる場合、 P_{Fe} , P_P , P_{P_2} の相対的な強度差により、一般に蒸発源と蒸気の組成が異なるため蒸発源の組成が変動し、蒸着物の組成が変化することが予想される。このため本実験では SIMS 検量線試料用プレートへの蒸着時間は約 1 min とし、その前後おのおの約 30 min 間別のプレートに蒸着させ、湿式分析試料とし、この 2 枚のプレートの湿式分析の値の平均値を SIMS 検量線試料の組成とした。

4. 測 定 結 果

SIMS の分析結果を Table 1, 2 に示す。表中 \bar{C}_i は i 成分の平均カウント数、 σ_i は i 成分のカウントの標準偏差を示す。表の最後の列 \bar{C}_P/\bar{C}_{Fe} の値が SIMS 分析により得られる最終結果である。

次にこれら蒸着物の深さ方向の組成変動について述べる。

Fig. 4 に自由蒸発法により得られた蒸着物の深さ方向の濃度分布の例を示す。これは予備実験として初期蒸発源組成 19.73 wt% のものを約 1 h 程蒸着させたものの表面近傍の濃度プロファイルである（深さ方向全域については蒸着物が厚過ぎて測定できなかつた）。これよりこ

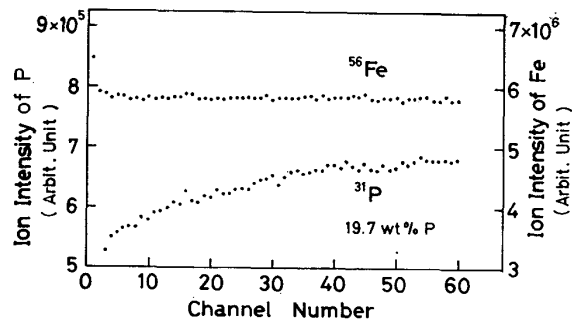


Fig. 4. In-depth profiles of Fe^+ and P^+ in deposited film evaporated from Fe-19.7 wt%P alloy by Langmuir evaporation.

のような表面近傍においても深くなるに従つて（すなわち蒸発開始点に近づくにつれて）、りんの濃度が高くなつていいくことがわかる。他方 Fig. 5 に同様な初期蒸発源組成 10.46 wt% のものの結果を示す。この場合にはほとんど組成変動がないことがわかる。各種の試料についての測定結果から Fig. 6 に示すように、蒸発の進行と共に一般に蒸発源の組成は変化し、約 10 wt% 近傍で蒸発源の組成と蒸気の組成が一致すること（すなわち約 10 wt% で蒸発による組成変動がなくなる）。その他の組成のものは、この組成に向かつて濃度変化をする）がわかつた。この結果は真空精錬において 10 wt% 以下では真空脱りんは不可能なことを示しており、実用上からも興味のある事実である。

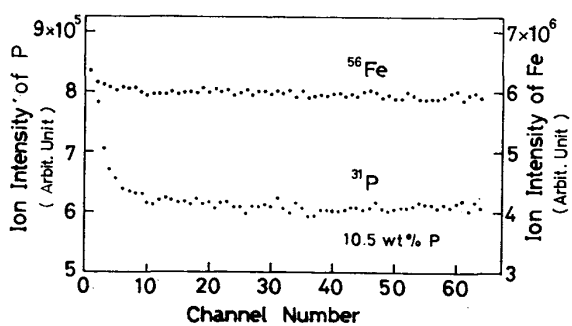


Fig. 5. In-depth profiles of Fe^+ and P^+ in deposited film evaporated from Fe-10.5 wt%P alloy by Langmuir evaporation.

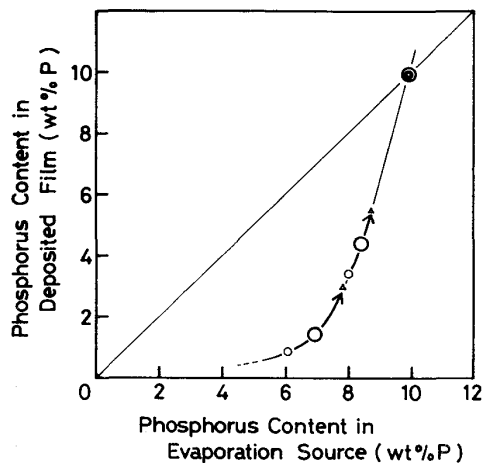


Fig. 6. Schematic diagram showing relationship between chemical composition of evaporation source and of deposited film.

Fig. 7 にはクヌーセンセルよりの蒸着物（試料組成 1.50 wt%）の深さ方向の濃度分布を示した。図中分析曲線が急激に上昇または下降している点が蒸着開始点を示す。これよりこのクヌーセンセルよりの蒸発の場合、この実験における蒸発時間内（約 1 h）では蒸着物の組成変動は僅少で無視しうることがわかる。

5. りんの蒸気圧の算出

5.1 検量線

得られた SIMS 検量線を Fig. 8 に示す。図中横軸は湿式分析による分析値、縦軸は SIMS により得られたイオン強度比を示す。この図より両者には十分直線関係が成立していることが示されている。また図中(±)で誤差範囲を示したが、この濃度範囲では Fe, P とも十分濃度が高いので誤差範囲がかなり小さいことが示されている。

5.2 1600°C の溶鉄中のりんの蒸気圧

Fig. 9 に得られた溶鉄中のりんの平衡蒸気圧を示す。

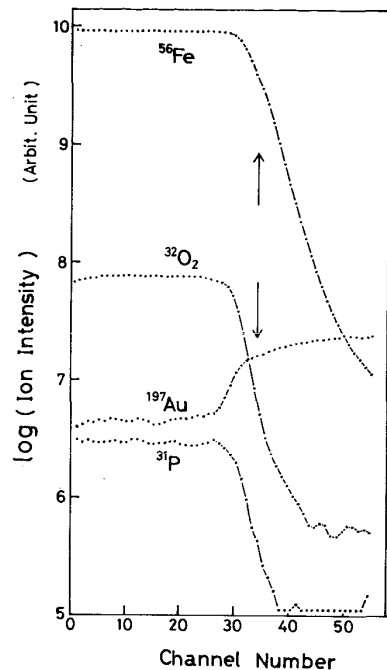


Fig. 7. In-depth profiles of Fe^+ and P^+ in deposited film effused from Fe-1.5 wt%P alloy by Knudsen effusion.

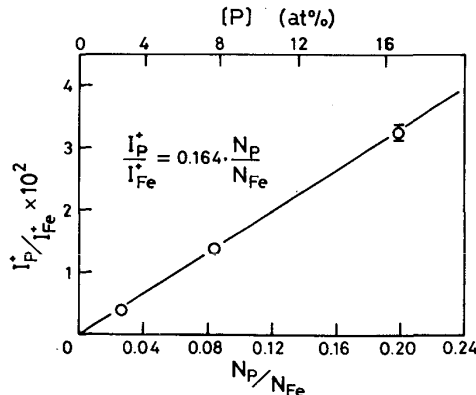


Fig. 8. Calibration curve for P in Fe-P alloy by SIMS.

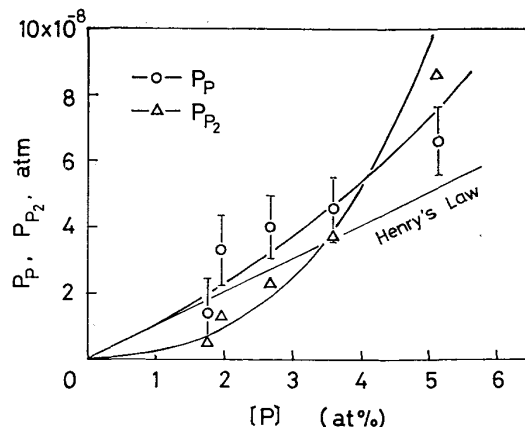


Fig. 9. Vapor pressures of P, P_2 from Fe-P alloys.

図中の各測定点は(10)式および(11)式を用い、SIMSによつて得られた N_P/N_{Fe} およびさきの質量分析計による実験結果¹⁾として得られている I_P^+ , $I_{P_2}^+$ の値より求められたものである。またりんの活量あるいは活量係数と溶鉄中のりん濃度の関係は前報¹⁾で示した研究において高い精度で得られているので、これと今回得た結果を用いて、りん濃度と P_P および P_{P_2} との関係を求めた。すなわち今回得られた SIMS による N_P/N_{Fe} の値のばらつきが大きいため、前報で得られた $\epsilon_P^P = 7.3$ の条件下で活量係数からのばらつきを最小にするような曲線を求めて得られたのが Fig. 9 の結果である。また図中に P_P の値の誤差範囲($\pm 2\sigma$)を(±)で示した。相対的な誤差範囲の大きさは低濃度になる程大きくなつているが、これは Table 1 よりも明らかに、この濃度範囲では溶鉄中のりんの蒸気圧が非常に低いため、SIMS の測定限界に近づいているためである。

5.3 標準自由エネルギーの温度変化

Table 3 に(1)～(3)式で示す反応の標準自由エネルギーの温度変化を示した。各々の求め方は 3.1 で述べたとおりである。また誤差範囲は $\pm 2\sigma$ の値である。

これらの ΔG° の温度変化の傾向はいずれも予想される通りのものである。

6. 考察

6.1 P, P_2 ガス平衡および凝縮係数

クヌーセンセル-蒸着法が成立するための最も大切な条件とは、気相間ガス平衡すなわち P , P_2 ガス平衡が成立しているか否か、およびターゲットプレートに衝突する噴出ガスが全量捕集されるか否かすなわち凝縮係数が 1 とみなせるか否かであろう。

P , P_2 ガス平衡については、さきの質量分析計による測定結果¹⁾を示す Fig. 10 より明らかなように、測定濃度全域についてその平衡が成立していることがわかる。なお図中 $N_P = 0.02$ での測定点がばらついているが、これはこの濃度での P_2 の蒸気圧が約 9×10^{-9} atm と極め

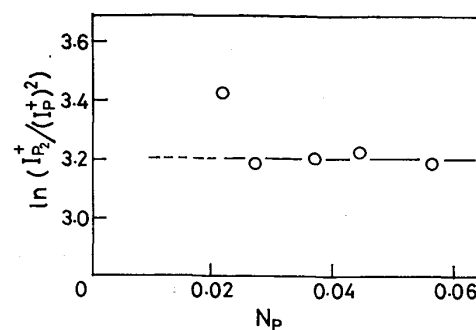


Fig. 10. Relation between ion intensity ratio $(I_{P_2}^+ / (I_P^+)^2)$ and phosphorus content (N_P) in Fe-P alloys by mass spectrometer.

て低いためによるものと思われる。

凝縮係数については本系の場合、特に P および P_2 が問題となる。これは一般に Dimer と Monomer の凝縮係数が異なるとされているためであるが、本測定においては、次の 2 点よりこれららの凝縮係数が 1 であるとみなしした。すなわちまずリング状の板を Fig. 1 のターゲットプレートの下側に取り付けた。この板はターゲットプレートに衝突する噴出ガスの一部が凝縮せず反射した場合にガスがその上に蒸着するようにしたものである。所要時間蒸発後、リング状の板に Fe-P 合金が蒸着しているか否か調べたが、蒸着は無視し得るものとみなせた。またターゲットプレートを取り付ける銅プレートの温度を液体窒素の入れない状態で測温したが、クヌーセンセルを 1600°C に加熱しても、その温度は常温からほとんど変化しなかつた。このことより液体窒素を入れた時には、ターゲットプレートは液体窒素温度近くまで十分冷却され、したがつて P および P_2 の凝縮係数は 1 とみなせるであろうと推定した。

6.2 P, P_2 のイオン化断面積およびパルス計数効率

3.1 で述べたように本測定における蒸気圧算出に際し用いた唯一の仮定は、 P_2 (Dimer) のイオン化断面積(σ_{P_2})が P (Monomer) のそれ(σ_P)の 1.5 倍であるとした点である。これは今まで測定された他の分子種の

Table 3. Standard free energy changes for several reactions.

$P(g) = P(\%)$	$\Delta G^\circ = -95.3 + 1.55 \times 10^{-2}T (\pm 2.2)$	Present work ($1590 \sim 1650^\circ\text{C}$)
$1/2P_2(g) = P(\%)$	$\Delta G^\circ = -37.7 + 0.13 \times 10^{-2}T (\pm 1.1)$	$J. B. BOOKEY^{3,4})$ ($1540 \sim 1580^\circ\text{C}$)
$P(g) = 1/2P_2(g)$	$\Delta G^\circ = -57.6 + 1.42 \times 10^{-2}T (\pm 1.1)$	$H. SCHENCK et al.^5)$ ($1515 \sim 1540^\circ\text{C}$)
$1/2P_2(g) = P(\%)$	$\Delta G^\circ = -29.95 - 0.46 \times 10^{-2}T$	$T. SARTO et al.^6)$ ($1500 \sim 1600^\circ\text{C}$)
$P(g) = 1/2P_2(g)$	$\Delta G^\circ = -40.0 + 1.17 \times 10^{-2}$	JANAF Table ⁶⁾ ($1430 \sim 1630^\circ\text{C}$)
$P(g) = 1/2P_2(g)$	$\Delta G^\circ = -59.4 + 1.42 \times 10^{-2}T$	

例⁷⁾よりほぼ確からしいものと思われる。他方、従来よく用いられてきたイオン化断面積の推定法は、DimerはMonomerの2倍であるという加成性が成立しているとするものである。そこで $\sigma_{P_2}/\sigma_P=2$ として再計算を行つたが、各々の ΔG° に対し0.3 kcal/mol程度の相違しか生ぜず、あまり問題がないものと思われた。

また(6)式は前に述べたように、質量分析計がパルス計数方式を採用している場合に成立する関係式であるが、このパルス計数計が分子種により計数効率が多少変動しても(実際の変動はたかだか数%程度⁸⁾)、やはり最終的に得られる ΔG° に対しては、0.03 kcal/mol程度でありほとんど影響がないことがわかつた。

6.3 温度測定

クヌーセンセル法の場合の測定温度については前回の報告¹⁾にも示してあるが、純鉄の融点において熱電対の起電力を補正してある。しかし実際の温度が1600°Cから多少ずれていたとしても、鉄とりんの蒸着量の比を測定しているため、大きな誤差とはならない。たとえば実際の測定が±10°Cで行われたとしても N_{Fe}/N_P の値には±10%，また ΔG° に対しても±0.4 kcal/mol程度の影響しかない。なお測定時間内の温度変動そのものは±1°Cである。

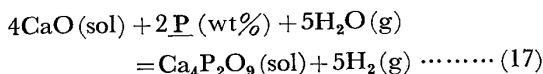
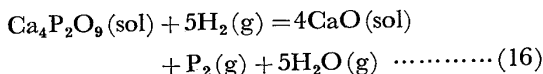
自由蒸発法の場合は検量線の試料を作るためのものであり、温度の変動は問題にならない。

6.4 他の研究者との比較

得られた(1)～(3)式の反応の標準自由エネルギーについて他の測定者と比較を行つた結果をTable 3に示す。

$$\frac{1}{2}P_2(g) = \underline{P}(\text{wt}\%) \quad (2)$$

この反応については従来 BOOKEY^{3,4)}により



の2つの平衡反応の測定結果を組み合わせて求められたものがある。しかしこれらの実験のうち(16)式の反応に関する測定は、[%P]=0.008～1の範囲で行われており、Pの濃度の低い範囲ではOの影響によりPの活量係数が相当大きく変化するが、これを考慮に入れていないこと、また(17)式の反応に関する測定では、 $Ca_4P_2O_9$ を入れる容器としてMoポートを用いており、Moへのりんの溶解については考慮を払つてはいるものの(17)式で示される平衡が真に成立しているか否か判定が難しいなど、いずれの測定においても測定法そのものに問題が多い。

い。またその結果得られた(2)式の ΔG° に対する誤差もこれら2つの反応より求められた値の誤差を加えたものに近くなるものと考えられる。ちなみに(16)式に関してBOOKEYと同様な測定原理を用いた荒谷ら⁹⁾の ΔG° の測定値と、(17)式に関するBOOKEYの ΔG° の測定値を組み合わせて(2)式の ΔG° を求めると、Table 3に示す値と全く異なるものになる。

またSEHENCKら⁵⁾は P_2 蒸気と溶鉄を平衡させる方法(等圧法)を用いて、1515～1540°Cにおける(2)式の平衡値として

$$\log K = 4.38 \quad (\Delta G^\circ = -36.09 \text{ kcal/mol})$$

を得ているが、彼等の測定は[%P]=10～30の範囲で行われたもので、これをPの無限希薄溶液へ外挿して求めたものである。しかしFe-P系の活量係数は Fe_3P 組成(15.6%)で大きく変化することが萬谷ら¹⁰⁾によつて報告されており、このことよりSEHENCKらの行つたPの無限希薄溶液への外挿はかなり無理がともなうものと考えられる。

次に $P(g)$ と $P_2(g)$ の気相間平衡反応

$$P(g) = \frac{1}{2}P_2(g) \quad (3)$$

について比較を行つてみる。

この反応については、本測定はJANAF Table⁶⁾といい一致を示したが、質量分析計を用いたSAITOら¹¹⁾の値とはかなり大きな差が生じた。SAITOらはPbを内部標準としてFe-P合金と平衡するP, P_2 の平衡蒸気圧を求めたものであるが(内部標準法)、本法と較べ仮定を多く用いているため必ずしも妥当な値とは思われない。

7. 結 言

クヌーセンセル中にて低濃度Fe-P合金を溶解・蒸発させ、クーゲットプレート上に捕集した蒸発物をSIMSにより定量分析し、さきに著者らにより求められている質量分析計による測定結果とあわせて、溶鉄中のりんの平衡蒸気圧を求め、溶鉄-りん間の各種反応の標準自由エネルギーを求めた。

得られた結果は次のとおりである。

$$P(g) = \underline{P}(\%)$$

$$\Delta G^\circ = -95.3 + 1.55 \times 10^{-2}T \quad (\pm 2.2) \text{ kcal/mol}$$

$$\frac{1}{2}P_2(g) = \underline{P}(\%)$$

$$\Delta G^\circ = -37.7 + 0.13 \times 10^{-2}T \quad (\pm 1.1) \text{ kcal/mol}$$

$$P(g) = \frac{1}{2}P_2(g)$$

$$\Delta G^\circ = -57.6 + 1.42 \times 10^{-2}T \quad (\pm 1.1) \text{ kcal/mol}$$

文 献

- 1) 山田啓作, 加藤栄一: 鉄と鋼, 65(1979), p. 264
- 2) 山田啓作, 加藤栄一: 鉄と鋼, 65(1979), p. 273
- 3) J. B. BOOKEY: JISI, 172 (1952), p. 61
- 4) J. B. BOOKEY, F. D. RICHARDSON, and A. J. E. WELCH: JISI, 171 (1952), p. 404
- 5) H. SCHENCK, E. STEINMETZ, and R. GOHLKE: Arch. Eisenhuttenw. 37 (1966), p. 775
- 6) D. R. STULL and H. PROPHET: "JANAF Thermochemical Table 2nd. ed." (1971)
- 7) J. DROWART and P. GOLDFINGER: Angew. Chem., 79 (1967). p. 589
- 8) 浅野 满, 木村 仁, 久保健治: 日本質量分析学会年会. 1979 年講演要旨集, p. 19
- 9) 荒谷復夫, 大森康男, 三本木貢治: 鉄と鋼, 54 (1968), p. 143
- 10) 萬谷志郎, 鈴木幹雄: 鉄と鋼, 61 (1975), p. 2933
- 11) T. SAITO, Y. SHIRAISHI, and M. ISMAIL: "Proceedings of the Fourth International Conference on Vacuum Metallurgy", p. 39